

## 5 - Moment cinétique du champ électromagnétique

But de ce § : Montrer que  $\vec{J} = \int d^3r \, \vec{E} \times (\vec{E} \times \vec{B})$  peut être mis sous la forme d'une valeur moyenne quantique, celle de l'opérateur  $\vec{L} + \vec{S}$  dans la "fonction d'onde"  $\vec{\alpha}(\vec{k})$ .

Quelques formules utiles (convention : sommation sur indices répétés)

- Tenseur complètement antisymétrique à 3 dimensions :  $\epsilon_{abc}$

$$\left\{ \begin{array}{l} \epsilon_{xyz} = \epsilon_{yzx} = \epsilon_{zxy} = -\epsilon_{yxz} = -\epsilon_{xzy} = -\epsilon_{zyx} = 1 \\ \text{Nul si 2 ou 3 indices égaux} \end{array} \right. \quad (\text{II-1})$$

- Produit vectoriel  $\vec{C} = \vec{A} \times \vec{B}$   $C_a = \epsilon_{abc} A_b B_c$  (II-2)

- Rotationnel  $\vec{B} = \vec{\nabla} \times \vec{A}$   $B_a = \epsilon_{abc} \partial_b A_c$  (II-3)

- Produit contracté  $\epsilon_{abc} \epsilon_{cde} = \delta_{ad} \delta_{be} - \delta_{ae} \delta_{bd}$  (II-4)

### a - Rappels de mécanique quantique

#### Spin 1

- Opérateurs de spin :  $S_x, S_y, S_z, S_{\pm} = S_x \pm iS_y, \vec{S}^2$

$$[S_a, S_b] = i\hbar \epsilon_{abc} S_c \quad [S_a, \vec{S}^2] = 0 \quad (\text{II-5})$$

Valeur propre de  $\vec{S}^2$  :  $s(s+1)\hbar^2 = 2\hbar^2$  car  $s=1$

- Base  $\{| \mu \rangle\} = \{| +1 \rangle, | 0 \rangle, | -1 \rangle\}$  des états propres de  $S_z$ .

Orthonormée :  $\langle \nu | \mu \rangle = \delta_{\mu\nu}$  (II-6)

Action de  $S_z, S_{\pm}$   $S_z | \mu \rangle = \mu \hbar | \mu \rangle \quad S_{\pm} | \mu \rangle = \pm \hbar \sqrt{2-\mu(\mu\pm 1)} | \mu \pm 1 \rangle$  (II-7)

- Introduction d'une autre base  $\{| a \rangle\} = \{| x \rangle, | y \rangle, | z \rangle\}$

(Commode pour les calculs en coordonnées cartésiennes)

Définition :  $| x \rangle = \frac{1}{\sqrt{2}} (| -1 \rangle - | +1 \rangle) \quad | y \rangle = \frac{i}{\sqrt{2}} (| -1 \rangle + | +1 \rangle) \quad | z \rangle = | 0 \rangle$  (II-8)

Orthonormée :  $\langle a | b \rangle = \delta_{ab}$  (II-9)

$| +1 \rangle = -\frac{1}{\sqrt{2}} (| x \rangle + i| y \rangle) \quad | 0 \rangle = | z \rangle \quad | -1 \rangle = \frac{1}{\sqrt{2}} (| x \rangle - i| y \rangle)$  (II-10)

- Action de  $S_{x,y,z}$  sur les vecteurs de base  $\{| a \rangle\}$  D'après (II-8) et (II-7) :

$$\left\{ \begin{array}{l} S_x | x \rangle = \frac{1}{2} (S_+ + S_-) \frac{1}{\sqrt{2}} (| -1 \rangle - | +1 \rangle) = 0 \\ S_x | y \rangle = \frac{1}{2} (S_+ + S_-) \frac{i}{\sqrt{2}} (| -1 \rangle + | +1 \rangle) = \frac{i\hbar}{2\sqrt{2}} (\sqrt{2}| 0 \rangle + \sqrt{2}| 0 \rangle) = i| 0 \rangle = i\hbar | z \rangle \\ S_x | z \rangle = \frac{1}{2} (S_+ + S_-) | 0 \rangle = \frac{\hbar}{2} (\sqrt{2}| +1 \rangle + \sqrt{2}| -1 \rangle) = -i\hbar | y \rangle \end{array} \right. \quad (\text{II-11})$$

Calculs analogues pour  $S_y$  et  $S_z$  → Résultats regroupables sous la forme :

$$S_a | b \rangle = i\hbar \epsilon_{abc} | c \rangle \quad (\text{II-12})$$

$$\langle c | S_a | b \rangle = i\hbar \epsilon_{abc} \quad (\text{II-13})$$

Remarque : D'après la 1<sup>re</sup> formule (II-11),  $| x \rangle$  (resp  $| y \rangle, | z \rangle$ ) est vecteur propre de  $S_x$  (resp  $S_y, S_z$ ) avec la valeur propre 0.

$| x \rangle$  ( $| y \rangle$ ) se déduit donc de  $| z \rangle = | 0 \rangle$  par une rotation de  $+\frac{\pi}{2}$  ( $-\frac{\pi}{2}$ ) autour de  $Oy$  ( $Ox$ ). On aurait pu ainsi introduire les formules (II-8)

Analogie entre les 3 états  $\{|a\rangle\}$  d'un spin 1 et les 3 vecteurs unitaires d'un trièdre trirectangle

- Comment se transforme l'état  $|b\rangle$  lors d'une rotation infinitésimale  $d\varphi$  autour de  $Oa$ ?

- Opérateur de rotation :  $R_a(d\varphi) = 1 - i \frac{d\varphi}{\hbar} S_a$  (II-14)

- Transformé de  $|b\rangle$

$$R_a(d\varphi)|b\rangle = |b\rangle - i \frac{d\varphi}{\hbar} S_a |b\rangle = |b\rangle + d\varphi \epsilon_{abc} |c\rangle \quad (\text{II-15})$$

- Comment se transforme le vecteur unitaire  $\vec{e}_b$  lors d'une rotation  $d\varphi$  autour de  $\vec{e}_a$ ?

$$R_a(d\varphi) \vec{e}_b = \vec{e}_b + d\varphi \underbrace{\vec{e}_a \times \vec{e}_b}_{\epsilon_{abc} \vec{e}_c} = \vec{e}_b + d\varphi \epsilon_{abc} \vec{e}_c \quad (\text{II-16})$$

- Conclusion : isomorphisme entre les vecteurs unitaires de l'espace à 3 dimensions et les états d'un spin 1

$$\vec{v} = v_x \vec{e}_x + v_y \vec{e}_y + v_z \vec{e}_z \iff |v\rangle = v_x |x\rangle + v_y |y\rangle + v_z |z\rangle \quad (\text{II-17})$$

Fonction d'onde d'une particule de spin 1.

On tient compte maintenant en plus des degrés de liberté externes.

- Base orthonormée de l'espace des états :  $\{|\vec{k}, a\rangle\} = \{|\vec{k}\rangle \otimes |a\rangle\}$  (II-18)

$|\vec{k}, a\rangle$  : particule d'impulsion  $\vec{k}$  et dans l'état de spin  $|a\rangle$

- Fonction d'onde associée à un état  $|\varphi\rangle$

$$\langle \vec{k}, a | \varphi \rangle = \varphi_a(\vec{k}) \quad (\text{II-19})$$

En chaque point  $\vec{k}$  de l'espace des  $\vec{k}$ , 3 nombres :  $\varphi_x(\vec{k}), \varphi_y(\vec{k}), \varphi_z(\vec{k})$

- Opérateur moment cinétique orbital (n'agit que sur les degrés de liberté externes)

$$\vec{L} = \vec{R} \times \vec{P} \quad (\text{II-20})$$

$$\text{En représentation } \{|\vec{k}\rangle\} \quad \begin{cases} \vec{R} \mapsto -\frac{1}{i} \vec{\nabla} & (\frac{1}{i} \text{ gradient } / \vec{k}) \\ \vec{P} \mapsto \hbar \vec{k} & (\text{multiplication par } \hbar \vec{k}) \end{cases} \quad (\text{II-21})$$

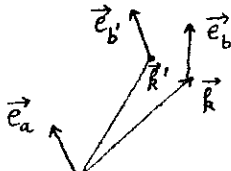
$$\text{D'où} \quad \vec{L} \mapsto -\frac{\hbar}{i} \vec{\nabla} \times \vec{k} = \frac{\hbar}{i} \vec{k} \times \vec{\nabla} \quad (\text{II-22})$$

$$L_a = \frac{\hbar}{i} \epsilon_{abc} k_b \partial_c \quad (\partial_c = \frac{\partial}{\partial k_c}) \quad (\text{II-23})$$

- Comment se transforme l'état  $|\vec{k}, b\rangle$  lors d'une rotation  $d\varphi$  autour de  $Oa$ ?

$$R_a(d\varphi)|\vec{k}\rangle \otimes |b\rangle = (1 - i \frac{d\varphi}{\hbar} L_a)|\vec{k}\rangle \otimes (1 - i \frac{d\varphi}{\hbar} S_a)|b\rangle = |\vec{k}'\rangle \otimes |b'\rangle \quad (\text{II-24})$$

avec  $\vec{k}' = \vec{k} + d\varphi \vec{e}_a \times \vec{k}$   $\vec{e}'_b = \vec{e}_b + d\varphi \vec{e}_a \times \vec{e}_b$  (II-25)



Si à  $|\vec{k}, b\rangle$  on associe le vecteur  $\vec{e}_b$  appliquée au point  $\vec{k}$ , au transformé de  $|\vec{k}, b\rangle$  il faut associer le vecteur "tourné"  $\vec{e}'_b$  appliquée au point "tourné"  $\vec{k}'$

On montre aisément à partir de là que les 3 nombres introduits en (II-19) se transforment par rotation comme les composantes d'un champ vectoriel (un vecteur en chaque point de l'espace)

Donc

$$\text{Fonction d'onde d'une particule de spin 1} \iff \text{Champ vectoriel}$$

- Calcul de la valeur moyenne du moment cinétique total en fonction des composantes cartésiennes de la fonction d'onde

$$J_a = L_a + S_a \quad (\text{II-26})$$

$$\langle J_a \rangle = \langle \varphi | J_a | \varphi \rangle = \langle L_a \rangle + \langle S_a \rangle \quad (\text{II-27})$$

$$\langle L_a \rangle = \int d^3k \varphi_d^* L_a \varphi_d = \frac{\hbar}{i} \int d^3k \varphi_d^* \epsilon_{abc} k_b \partial_c \varphi_d \quad (\text{II - 28})$$

(Mêmes index  $a$  à gauche et à droite de  $L_a$  car  $L_a$  n'agit pas sur les variables de spin)

$$\langle S_a \rangle = \int d^3k d^3k' \langle \varphi | \vec{k} b \rangle \underbrace{\langle \vec{k} b | S_a | \vec{k}' c \rangle}_{-i\hbar S(\vec{k}-\vec{k}') \epsilon_{abc}} \langle \vec{k}' c | \varphi \rangle = \frac{\hbar}{i} \int d^3k \varphi_b^* \epsilon_{abc} \varphi_c \quad (\text{II - 29})$$

Finalement :

$$\langle J_a \rangle = \frac{\hbar}{i} \int d^3k \left[ \varphi_d^* \epsilon_{abc} k_b \partial_c \varphi_d + \varphi_b^* \epsilon_{abc} \varphi_c \right] \quad (\text{II - 30})$$

b - Calcul de  $\vec{J} = \epsilon_0 \int d^3r \vec{r} \times (\vec{E} \times \vec{B})$  en fonction de  $\vec{E}(\vec{k})$

Calcul préliminaire en fonction de  $\vec{E}(\vec{k})$  et  $\dot{\vec{E}}(\vec{k})$

-  $\vec{r} \times (\vec{E} \times \vec{B}) = \vec{E}(\vec{r}, \vec{B}) - \vec{B}(\vec{r}, \vec{E}) = \vec{E}^*(\vec{r}, \vec{B}) - \vec{B}^*(\vec{r}, \vec{E})$  au  $\vec{E}$  et  $\vec{B}$  réels  $\quad (\text{II - 31})$

- Transformées de Fourier  
si  $\vec{E}(\vec{r}) \longleftrightarrow \vec{E}(\vec{k})$   $\vec{r} \cdot \vec{E} \longleftrightarrow i \nabla \cdot \vec{E} = i \partial_b E_b \quad (\text{II - 32})$

- Parseval - Plancherel

$$J_a = \epsilon_0 \int d^3r \left[ E_a^*(\vec{r}, \vec{B}) - B_a^*(\vec{r}, \vec{E}) \right] = i \epsilon_0 (2\pi)^3 \int d^3k \left[ E_a^*(\partial_b B_b) - B_a^*(\partial_b E_b) \right] \quad (\text{II - 33})$$

$$\int d^3k E_a^*(\partial_b B_b) = \underbrace{\int d^3k \partial_b (E_a^* B_b)}_{\text{(Transformation en une intégrale de surface)}} - \int d^3k B_b (\partial_b E_a^*) \quad (\text{II - 34})$$

$$\int d^3k B_b (\partial_b E_a^*) = - \int d^3k B_b^* (\partial_b E_a) \quad (\text{Chgt } \vec{k} \rightarrow -\vec{k} \text{ et utilisation des conditions de réalité}) \quad (\text{II - 35})$$

Finalement

$$J_a = i \epsilon_0 (2\pi)^3 \int d^3k \left[ B_b^* (\partial_b E_a) - B_a^* (\partial_b E_b) \right] \quad (\text{II - 36})$$

- Remplacement de  $\vec{B}$  par  $i \frac{\vec{k}}{\omega^2} \times \dot{\vec{E}}$  (formule I - 6)

$$B_b^* = -\frac{i}{\omega^2} \epsilon_{bcd} k_c \dot{E}_d^* \quad B_a^* = -\frac{i}{\omega^2} \epsilon_{acd} k_c \dot{E}_d^* \quad (\text{II - 37})$$

$$\begin{aligned} J_a &= \epsilon_0 (2\pi)^3 \int \frac{d^3k}{\omega^2} \left[ \epsilon_{bcd} \dot{E}_d^* k_c (\partial_b E_a) - \epsilon_{acd} \dot{E}_d^* k_c (\partial_b E_b) \right] \\ &= \epsilon_0 (2\pi)^3 \int \frac{d^3k}{\omega^2} \dot{E}_d^* k_c (\partial_b E_a) \epsilon_{fcd} \left[ \delta_{fb} \delta_{ea} - \delta_{fa} \delta_{eb} \right] \end{aligned} \quad (\text{II - 38})$$

$$\epsilon_{fcd} [\delta_{fb} \delta_{ea} - \delta_{fa} \delta_{eb}] = \epsilon_{fcd} \epsilon_{abg} \epsilon_{gef} \quad (\text{d'après II - 4})$$

$$= \epsilon_{abg} [\delta_{gc} \delta_{ed} - \delta_{gd} \delta_{ec}] \quad (\text{en contractant le 1<sup>er</sup> et le 3<sup>er</sup> } \epsilon \text{ au lieu du 2<sup>nd</sup> et du 3<sup>rd</sup>}) \quad (\text{II - 39})$$

d'où l'on tire :

$$J_a = \epsilon_0 (2\pi)^3 \int \frac{d^3k}{\omega^2} \left[ \dot{E}_d^* \epsilon_{abc} k_c (\partial_b E_d) - \dot{E}_d^* \epsilon_{abd} k_c (\partial_b E_c) \right] \quad (\text{II - 40})$$

$$\epsilon_{abc} k_c \partial_b = -\epsilon_{acb} k_c \partial_b = -\epsilon_{abc} k_b \partial_c \quad (\text{II - 41})$$

$$\begin{aligned} -\dot{E}_d^* \epsilon_{abd} k_c (\partial_b E_c) &= -\dot{E}_d^* \epsilon_{abd} \partial_b \underbrace{(k_c E_c)}_{=0 \text{ (E transversal)}} + \dot{E}_d^* \epsilon_{abd} E_c \underbrace{(k_b k_c)}_{=\delta_{bc}} \\ &= \dot{E}_d^* \epsilon_{acd} E_c = \dot{E}_b^* \epsilon_{acb} E_c = -\dot{E}_b^* \epsilon_{abc} E_c \end{aligned} \quad (\text{II - 42})$$

- Finalement, en portant (II - 41) et (II - 42) dans (II - 40) :

$$J_a = -\epsilon_0 (2\pi)^3 \int \frac{d^3k}{\omega^2} \left[ \dot{E}_d^* \epsilon_{abc} k_b (\partial_c E_d) + \dot{E}_b^* \epsilon_{abc} E_c \right] \quad (\text{II - 43})$$

ce qui commence à ressembler à (II - 30)

### Calcul en fonction de $\vec{\alpha}(\vec{k})$

D'après les expressions I-11, I-12, I-23 de  $\vec{E}$ ,  $\vec{E}$ ,  $N(\vec{k})$ , il vient :

$$\begin{aligned} J_a = -i \frac{\hbar}{2} \int d^3k \left\{ \left[ \alpha_d^*(\vec{k}) - \alpha_d(-\vec{k}) \right] \epsilon_{abc} k_b \partial_c \left[ \alpha_d(\vec{k}) + \alpha_d^*(-\vec{k}) \right] \right. &+ \\ \left. \left[ \alpha_b^*(\vec{k}) - \alpha_b(-\vec{k}) \right] \epsilon_{abc} \left[ \alpha_c(\vec{k}) + \alpha_c^*(-\vec{k}) \right] \right\} & \quad (II-44) \\ \left. \left[ \alpha_b^*(\vec{k}) - \alpha_b(-\vec{k}) \right] \epsilon_{abc} \left[ \alpha_c(\vec{k}) + \alpha_c^*(-\vec{k}) \right] \right\} & \\ \left. \left[ \alpha_d^*(\vec{k}) - \alpha_d(-\vec{k}) \right] \epsilon_{abc} k_b \partial_c \left[ \alpha_d(\vec{k}) + \alpha_d^*(-\vec{k}) \right] \right] & \end{aligned}$$

- Termes faisant intervenir  $\vec{k}$  avec le même signe (I, II, I', II')

I et II sont égaux (Pour le voir, on change, dans II,  $\vec{k}$  en  $-\vec{k}$ , et on intègre par parties en utilisant le fait que, par suite de  $\epsilon_{abc}$ ,  $b \neq c$ , de sorte que  $k_b \partial_c = \partial_c k_b$ ).

I' et II' sont égaux (changement de  $\vec{k}$  en  $-\vec{k}$  dans II', changement  $b \rightarrow c$ ,  $c \rightarrow b$  et utilisation de  $\epsilon_{acb} = -\epsilon_{abc}$ ).

- Termes faisant intervenir  $\vec{k}$  avec des signes opposés (III, IV, III', IV'). Tous ces termes sont nuls.

On montre en effet que chacun d'eux est égal à son opposé pour III et IV, en changeant  $\vec{k}$  en  $-\vec{k}$  et en faisant une intégration par partie pour III' et IV', en changeant  $\vec{k} \rightarrow -\vec{k}$ ,  $b \rightarrow c$ ,  $c \rightarrow b$ .

Finalement :

$$J_a = \frac{\hbar}{i} \int d^3k \left[ \alpha_d^* \epsilon_{abc} k_b (\partial_c \alpha_d) + \alpha_b^* \epsilon_{abc} \alpha_c \right] \quad (II-45)$$

La composante  $J_a$  du moment cinétique du champ électromagnétique clignote apparaît donc bien comme la valeur moyenne de l'opérateur  $L_a + S_a$  dans la fonction d'onde  $\vec{\alpha}(\vec{k})$  introduite au § 2.

c.  $\vec{L}$  et  $\vec{S}$  ne sont pas physiques alors que  $\vec{J}$  l'est.

- Argument mathématique :

La condition (I-13) de transversalité  $\vec{k} \cdot \vec{\alpha}(\vec{k}) = 0$  entraîne que l'espace des fonctions d'ondes des photons est un sous-espace de l'espace des champs vectoriels, le sous-espace des champs transverses. Or ce sous-espace n'est pas stable sous l'action de  $\vec{S}$  ou de  $\vec{L}$ , alors qu'il l'est sous l'action de  $\vec{J} = \vec{L} + \vec{S}$ .

Pour le voir, revenons à la figure de la page II-2.  $\vec{S}$  fait tourner le vecteur  $\vec{e}_b$  sans faire tourner le point d'application, ce qui détruit la perpendicularité entre  $\vec{k}$  et  $\vec{e}_b$  en général. De même,  $\vec{L}$  fait tourner le point d'application en gardant  $\vec{e}_b$  parallèle à lui-même.  $\vec{J}$  par contre fait tourner simultanément  $\vec{k}$  et  $\vec{e}_b$  et conserve les angles.

Seul  $\vec{J}$  est donc observable. Il est commode cependant d'introduire les états propres de  $\vec{L}$  et  $\vec{S}$  pour construire à partir d'eux les états propres (transverses) de  $\vec{J}$ .  $\vec{L}$  et  $\vec{S}$  sont des intermédiaires de calcul commodes.

- Argument physique

Le spin d'une particule est son moment cinétique dans le référentiel où elle est au repos. Un tel référentiel n'existe pas pour le photon qui se propage à la vitesse c.